

大分高専 正員 上床隆彦
 学生員 山崎哲義
 学生員○嶋島裕隆

1. まえがき

近年、直立消波ブロックの開発が盛んになってきた。著者等は模型実験により、消波ブロック(ワーロックA型)を用いて、消波効果を知るために、不規則波を起こして実験を行った。又、消波ブロックの消波効果を較べる意味で、直立壁についても行った。不規則な波に対する消波工の消波効果の測定は従来あまり行なわれていない。

今日、室内模型実験における反射率の算出方法は、規則波による実験結果から*Idealy* の方法により求めたり方が比較的簡単で一般的である。しかし、実際の現場での波は入射波向、波の周期など一般的に不規則である。このために規則波での室内実験での反射率の値が現場での波に対し、どれだけ信頼のできる値であるかは疑問である。それで著者等は実験装置その他の関係から、波の周期だけを不規則にし、入射波向については一定方向(壁体に垂直)にして、不規則波に近い波を起こし、直立消波工の消波効果を求めた。この場合、反射率の計算には*Idealy* の方法が適用できないので、波のスペクトル解析により求めた方である。今回は、消波工前面の波のスペクトルを測定し、その分布が直立壁と消波工とどの程度の違いがあるのか調べ、また規則波と不規則波との比較のため、規則波の反射率も測定した。

2. 規則波による反射率(ワーロックA型)

不規則波による実験を行う前に、規則波においての反射率を*Idealy* の方法によつて求め、不規則波による反射率との比較材料としようとした。

図-1は消波ブロック断面図である。実験条件は水深30cm、周期2.6sec, 1.58sec, 1.04secに対し、造波板の回転長さを変えることにより、各種の波高を起こして実験を行つた。反射率の結果は図-2に示す。この図から、全ての周期に対してだいたい0.4~0.6の範囲に集まつてゐる。実験装置は次に述べる不規則の場合と同じ装置を用いた。その諸元は図-3に示す。ただし、波高計は最大波高と最小波高が出る地点を見つけて移動させることで、その間隔は周期によって変化させている。波高計は容量式波高計を2台用いている。消波ブロックはワーロックA型を用いている。消波効果を図-2で見ると、 $T=1.04\text{ sec}$, $S=80\text{ mm}$, 入射波高5.6cmの場合に反射率が著しく低下し、又、 $T=1.58\text{ sec}$, $S=80\text{ mm}$, 入射波高8.8cmの場合に大きくなっている。このことは、前者の波についてはこの消波ブロックが波のエネルギーを吸収し易く又、後者の場合には吸収し難いことを表わしている。

3. 実験装置及び不規則波の作成方法

室内水槽実験には、大分高専の*Flutter*型の造波装置を用いた。全長11m、中0.6m、深さ0.6mの2次元水槽(図-3)を用いた。造波板の能力は、周期(0.6, 1.04

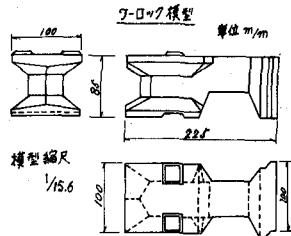


図-1 消波ブロック断面図

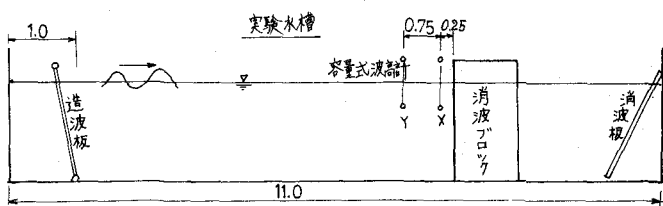
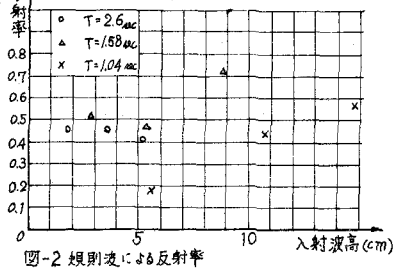


図-3 実験装置諸元図

1.58, 2.6sec) の 4 種類の手動式変速器である。今回はストローク 210mm, 水深 30cm で実験を行った。消波ブロックの設置方法は図-4 のように 2 通りにした。

下規則波の作成方法は、周期が十種類のもので、この 4 種類の組合せを乱数表から拾い表-1 のような組合せを作り、それそれの波送り回数についても乱数表から表のようない回数にした。

波の周期、波送り回数が限定されるため、本当の不規則波とは言え

ないが、この方法だと同じ波を何度も起すことができる。図-5 に造波波形の一部を示す。

4. 不規則波による周波数スペクトル算定式 X 点

$$X_i = K(X_i - \bar{X})$$

$$W_p = \frac{1}{N-P} \sum_{i=1}^{N-P} X_i X_{i+p}$$

$$L_k = \frac{1}{m} [W_0 + 2 \sum_{p=1}^{m-1} W_p \cos \frac{\pi p k}{m} + W_m \cos \pi k]$$

$$U_k = a_{-1} L_{k-1} + a_0 L_k + a_1 L_{k+1}$$

$$f_k = \frac{h}{2 \pi a t}$$

$$\phi(f_k) = 2 \pi a t U_k$$

$$P = 0, 1, 2, \dots, m \quad (m = P_{\max})$$

$$h = 0, 1, 2, \dots, m \quad (m = h_{\max})$$

5. 考察

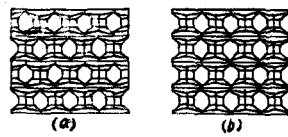
全体的に図-3 の X 点よりも Y 点の波高計において、周期、エネルギーが大きい。これは周期においては、Y 点において波の合成により周期が大きくなっている事を示す。又、我々がランダムに選んだ周期は 0.6, 1.04, 1.58, 2.6 の 4 種類で図-6 では Y 点は 3.5sec 附近、X 点では 2.2sec 附近でエネルギーが最大になっている。我々は当初 4 種類の周期のどれか一つにエネルギーの最大点が現われると思っていたが、我々の考えとは違った結果が出た。これは波の入射波と反射波の合成によって壁体付近の周期が変化したものと思われる。又、エネルギーも Y 点付近で大きく、X 点で小さいのは、壁体付近での消波ブロックの消波効果が良く現われているということである。

直立壁、(a)型、(b)型については直立壁においてエネルギーが(a)型、(b)型の 2 倍～2.5 倍になっている。つまり波高で考えると直立壁の場合、(a)型、(b)型の 1.4～1.5 倍の大きさがあることがわかる。

(a)型と(b)型については、消波効果はわずかに(a)型の方が良い。又、壁 0.5 体の安定度からも(a)型の方が良いと思われる。

6. 結び

今回は周波数スペクトルを用いて消波ブロックの消波効果をエネルギーで比較してみた。次回は反射率の算定を不規則波について行い、報告する予定である。



(a)

(b)

図-4.

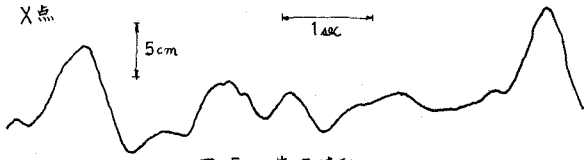


図-5. 造波波形

周期	0.6	2.6	1.0	1.0	0.6	2.6	0.6	1.0	1.6	1.6	1.6
波数	5	5	5	4	3	3	6	3	6	6	5
周期	0.6	0.6	2.6	2.6	2.6	0.6	0.6	0.6	0.6	1.6	2.6
波数	5	5	4	6	5	3	4	6	4	5	4
周期	1.6	1.0	1.6	0.6	1.6	2.6	1.0	0.6	1.6	1.0	1.0
波数	3	4	6	6	6	6	3	3	3	6	6
周期	1.0	0.6	0.6	2.6	0.6	2.6	2.6	1.6	1.0	1.0	1.0
波数	4	4	4	5	6	3	6	4	5	3	6

周期は $T = 2.6$ 秒, 1.6 秒, 1.0 秒, 0.6 秒とする
波数は 3 回, 4 回, 5 回, 6 回の組合せである。

表-1. 不規則波発生組合せ表

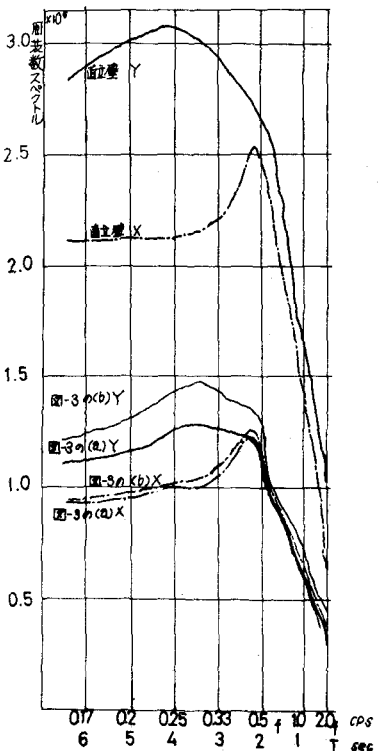


図-6. 周波数スペクトル